УДК 539.3

ЧИСЛЕННО-АНАЛИТИЧЕСКОЕ РЕШЕНИЕ УРАВНЕНИЯ ПРАНДТЛЯ ДЛЯ ТВЕРДЫХ ТЕЛ С СОГЛАСОВАННЫМИ КОНТАКТНЫМИ ПОВЕРХНОСТЯМИ

Докт. физ.-мат. наук, проф. ЧИГАРЕВ А. В., докт. физ.-мат. наук МЕЛЕШКО И. Н., ПРОНКЕВИЧ С. А.

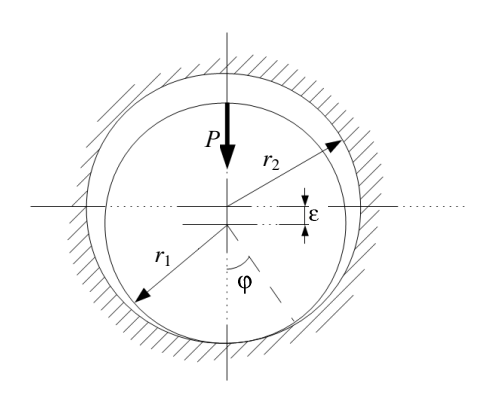
Белорусский национальный технический университет

Как известно, к решению уравнения Прандтля сводятся задачи в различных областях механики, в том числе в контактной механике. В частности, задача о сжатии двух упругих тел, одно из которых имеет форму кругового цилиндра, а второе представляет собой бесконечное тело с круговым цилиндрическим вырезом, приводится к интегро-дифференциальному уравнению типа Прандтля для контактных напряжений. Разработка численных и аналитических методов решения уравнения Прандтля остается актуальной в связи с тем, что многие задачи технических систем приводят к необходимости поисков все более точных решений. Для инженерных приложений широкое использование САЕ-систем не уменьшает актуальности получения аналитических решений, позволяющих использовать их в задачах анализа и синтеза контактных деталей. Разработка аналитических методов дает возможность не только контролировать результаты, полученные с помощью САЕ-систем, но и находить более рациональные схемы решений.

Пусть упругий цилиндр радиусом, длина которого не менее порядка диаметра и более, вложен в упругое тело с цилиндрической полостью (рис. 1) так, что по нижней границе они находятся в контакте.

Под действием приложенных нагрузок в контактирующих телах возникают деформации и напряжения, которые удовлетворяют уравнениям равновесия так, что в сечении, расположенном достаточно далеко от торцов цилиндра, напряженно-деформированное состояние является плоским [1]

$$\frac{\partial \sigma_x^{\alpha}}{\partial x} + \frac{\partial \tau_{xy}^{\alpha}}{\partial y} = 0, \quad \frac{\partial \sigma_y^{\alpha}}{\partial y} + \frac{\partial \tau_{xy}^{\alpha}}{\partial x} = 0. \tag{1}$$



Puc. 1. Внутренний контакт областей с круговыми границами

Закон Гука имеет вид:

$$\sigma_{x}^{\alpha} = 2G \left(\varepsilon_{x}^{\alpha} + \frac{\mu^{\alpha}}{1 - 2\mu} \varepsilon^{\alpha} \right);$$

$$\sigma_{y}^{\alpha} = 2G \left(\varepsilon_{y}^{\alpha} + \frac{\mu^{\alpha}}{1 - 2\mu} \varepsilon^{\alpha} \right);$$

$$\tau_{xy}^{\alpha} = \tau_{yx}^{\alpha} = G^{\alpha} \varepsilon_{xy}^{\alpha}.$$
(2)

Формулы Коши записываются в виде:

$$\varepsilon_x^{\alpha} = \frac{\partial u^{\alpha}}{\partial x}; \quad \varepsilon_y^{\alpha} = \frac{\partial v^{\alpha}}{\partial y};$$

$$\varepsilon_{xy}^{\alpha} = \frac{\partial u^{\alpha}}{\partial y} + \frac{\partial v^{\alpha}}{\partial x}; \quad \varepsilon^{\alpha} = \varepsilon_{x}^{\alpha} + \varepsilon_{y}^{\alpha}, \quad (3)$$

где индекс $\alpha = 1$ относится к цилиндрической полости, $\alpha = 2 - \kappa$ цилиндру. Примем: r_1 , $r_2 - p$ адиусы отверстия полости и цилиндра соответственно; $\varepsilon = r_2 - r_1 - p$ адиальный зазор.

Переходя к комплексному потенциалу, представим перемещения u, v и напряжения в полярных координатах в виде [2]:

$$\sigma_{\zeta}^{\alpha} + \sigma_{r}^{\alpha} = 2 \left[\Phi^{\alpha} \quad w + \overline{\Phi^{\alpha} \quad w} \right];$$

$$\sigma_{\zeta}^{\alpha} - \sigma_{r}^{\alpha} + 2i \tau_{r\zeta}^{\alpha} = 2e^{2i\zeta} \left[\overline{w} \Phi' \quad w + \Psi \quad w \right]; \quad (4)$$

$$2\mu^{\alpha}\ u^{\alpha}+iv^{\alpha}\ =k^{\alpha}\varphi^{\alpha}\ w\ -w\overline{\Phi^{\alpha}\ w}\ -\overline{\psi^{\alpha}\ w}\ ,$$

где μ^{α} — коэффициенты Ляме для тела с полостью ($\alpha=1$) и для цилиндра ($\alpha=2$); ϕ^{α} w , ψ^{α} w — комплексные потенциалы Колосова — Мусхелишвили:

Кроме того, имеют место выражения [3]:

$$\Phi_{1} w = \frac{k_{1}}{2\pi 1 + k_{1}} \frac{iY}{w} - \frac{1}{2\pi i} \int_{L}^{\sigma_{r}} \frac{\omega d\omega}{\omega - w};$$

$$\Phi_{2} w = \frac{-iY}{2\pi 1 + k_{2}} \frac{1}{w} - \frac{iY}{\pi 1 + k_{2}} \frac{w}{r_{2}^{2}} + \frac{1}{2\pi i} \int_{L}^{\sigma_{r}} \frac{\xi d\xi}{\xi - w} - \frac{1}{4\pi i} \int_{L}^{\sigma_{r}} \frac{\xi d\xi}{\xi};$$

$$\Psi^{\alpha} \ w = \frac{r_1^2}{w^2} \Phi^{\alpha} \ w + \frac{r_1^2}{w^2} \overline{\Phi}^{\alpha} \left(\frac{r_1^2}{w} \right) - \frac{r_1^2}{w} \Phi^{\alpha'} \ w ,$$

где Y — главный вектор сил, приложенных к границе.

В области контакта, пренебрегая малыми более высокого порядка, и с учетом малости перемещений по сравнению с геометрическими размерами тел считаем, что выполнено следующее условие:

$$\varepsilon + u_1 \cos \zeta + v_1 \sin \zeta = u_2 \cos \zeta + + v_2 - \delta - \varepsilon \sin \zeta, \qquad (5)$$

где u_1 , v_1 – компоненты перемещений для тела с цилиндрической полостью; u_2 , v_2 – для цилиндра; δ – осадка центра цилиндра.

Тогда, учитывая принятые предположения, после элементарных преобразований получаем, что на дуге контакта L выполняется следующее соотношение:

$$\varepsilon + \frac{r_{1}}{E_{1}} \left(2G_{11} \left[\Phi_{1} \ \eta + \overline{\Phi_{1} \ \eta} \right] - G_{11} + v_{1}G_{21} \ \sigma_{r} \right) +$$

$$+ r_{1} \frac{\partial}{\partial \zeta} \left(\frac{k_{1} + 1}{4\mu_{1}} i \left[\Phi_{1} \ \eta - \overline{\Phi_{1} \ \eta} \right] \right) =$$

$$= \frac{r_{2}}{E_{2}} \left(2G_{12} \left[\Phi_{2} \ \zeta + \overline{\Phi_{2} \ \zeta} \right] - G_{12} + v_{2}G_{22} \ \sigma_{r} \right) +$$

$$+ r_{2} \frac{\partial}{\partial \zeta} \left(\frac{k_{2} + 1}{4\mu_{2}} i \left[\Phi_{2} \ \eta - \overline{\Phi_{2} \ \eta} \right] \right), \quad (6)$$

где
$$1/\zeta = r_1/r_2 \eta$$
; $\zeta = r_2 \eta / r_1 - i\epsilon$.

Таким образом, из (5) и (6) получаем интегро-дифференциальное уравнение в виде [2]

$$\frac{\eta}{\pi i} \int_{L} \frac{\sigma_{r}' \omega d\omega}{\omega - \eta} = \gamma_{1} \sigma_{r} \eta - \frac{iY}{\pi} \gamma_{2} \left(\frac{1}{\eta} - \frac{\eta}{R^{2}} \right) - \gamma_{3} \frac{Y}{\pi} - \gamma_{4} b - \gamma_{5} \varepsilon,$$

где

$$\gamma_{1} = \frac{G_{12} - v_{2}G_{22} E_{1}r_{1}r_{2} - G_{11} - v_{1}G_{21} E_{2}r_{1}^{2}}{2 r_{1}^{2}E_{2}G_{11} + r^{2}E_{1}G_{12}};$$

$$\gamma_{2} = \frac{1 + v_{2} E_{1}r_{1}r_{2} + k_{1} 1 + v_{1} E_{2}r_{1}^{2}}{4 r_{1}^{2}E_{2}G_{11} + r_{2}^{2}E_{1}G_{12}};$$

$$\gamma_{3} = \frac{G_{12}\varepsilon r_{1}E_{1}}{2r_{2} 1 + k_{2} r_{1}^{2}E_{2}G_{11} + r_{2}^{2}E_{2}G_{12}};$$

$$\gamma_{4} = \frac{G_{11}E_{2}}{r_{1}^{2}E_{2}G_{11} + r_{2}^{2}E_{1}G_{12}};$$

$$\gamma_5 = \frac{E_1 E_2}{2 r_1 E_2 G_{11} + r_2 E_1 G_{12}}; \frac{b}{r_1^2} = -\frac{1}{2\pi i} \int_L \frac{\sigma_r}{\omega} d\omega;$$
$$\eta = \text{Re } i\zeta.$$

Для дальнейшего рассмотрения удобно преобразовать полученное выше интегральное уравнение к виду [4]

$$\frac{\Gamma x}{B x} - \frac{1}{\pi} \int_{-1}^{1} \frac{\Gamma' t}{t - x} dt = f x, -1 < x < 1, (7)$$

где
$$\Gamma$$
 $x=\sigma$ w ; B $x=\frac{\eta}{\gamma_1 i}$; f $x=-\frac{Y}{\pi\eta}\gamma_2\times \left(\frac{1}{\eta}-\frac{\eta}{R^2}\right)+\frac{i}{\eta}\left(\gamma_3\frac{Y}{\pi}+\gamma_4 b+\gamma_5\varepsilon\right)$ — известные функции; $\Gamma(x)=\sigma_r$ — искомая функция.

Будем считать, что B(x) нигде, за возможным исключением концов отрезка [-1, 1], в нуль не обращается. Кроме того, предполагается что

$$\Gamma(-1) = \alpha; \ \Gamma(1) = \beta. \tag{8}$$

1. Рассмотрим новый подход к приближенному решению уравнения (7) [5]. Использование квадратурной формулы специального вида позволяет значительно упростить вычислительную схему этого метода.

Преобразуем уравнения Прандтля к интегральному уравнению специального вида. Обозначим

$$-\frac{1}{\pi} \int_{-1}^{1} \frac{\Gamma' t}{t - x} dt = u x$$

и применим формулу обращения сингулярного интеграла с ядром Коши [6], тогда получим

$$\Gamma' x = \frac{1}{\pi \sqrt{1 - x^2}} \int_{-1}^{1} \frac{\sqrt{1 - t^2} u \ t}{t - x} dt + \frac{C}{\sqrt{1 - x^2}},$$

где C – произвольная постоянная и

$$\Gamma x = \int_{-1}^{x} \Gamma' x dt = \frac{1}{\pi} \int_{-1}^{1} u t H x, t dt + C \left(\arcsin x + \frac{\pi}{2} \right) + C_{1},$$
 (9)

где
$$H x,t = \ln \frac{1-xt+\sqrt{1-x^2-1-t^2}}{|t-x|}; C_1 -$$

произвольная постоянная.

С помощью условия (8) находим, что $C_1 = \alpha$; $C = \frac{\beta - \alpha}{\pi}$.

Таким образом, краевая задача (7), (8) свелась к интегральному уравнению относительно

$$u x + \frac{1}{\pi B x} \int_{-1}^{1} u t H x, t dt = F x$$
,

$$F x = f x + \frac{1}{B x} \left[\alpha - \beta \left(\arcsin x + \frac{\pi}{2} \right) - \alpha \right].$$

Обозначим
$$q x = -\frac{\sqrt{1-x^2}}{B x}$$
 и перепишем

последнее уравнение в виде

$$u(x) - \frac{q^{-x}}{\pi\sqrt{1-x^2}} \int_{-1}^{1} u(t)H(x,t)dt = F(x). \quad (10)$$

Введем оператор

$$K \ u = K \ u, x \equiv \frac{q \ x}{\pi \sqrt{1 - x^2}} \int_{-1}^{1} u \ t \ H \ x, t \ dt.$$
 (11)

Тогда интегральное уравнение (10) приводится к функциональному уравнению

$$u - K \quad u = F. \tag{12}$$

Из
$$\|K \ u\|_{C} \le \max_{x \in -1,1} \left(\frac{|q \ x|}{\pi \sqrt{1-x^{2}}} \int_{-1}^{1} H \ x,t \ dt \right) \|U\|_{C}$$

следует, что q(x) и f(x) непрерывны на отрезке [-1, 1]. Тогда с учетом (11) получаем неравенство

$$||K u||_{C} \le \max_{x \in -1,1} |q x| ||u||_{C}.$$

2. Рассмотрим построение квадратурной формулы с неотрицательными коэффициентами. При построении вычислительной схемы решения интегрального уравнения главную роль играет способ аппроксимации интеграла квадратурной суммой.

Зададим на отрезке [-1, 1] систему точек

$$x_k = kh; \ k = -n, ..., -1, 0, 1, ..., n; \ h = \frac{2}{2n+1}$$

и аппроксимируем функцию u(x) на этом отрезке по формуле

$$u(x) \approx \tilde{u}(x) = \sum_{-n}^{n} \theta_{k}(x)u(x_{k}),$$

в которой $\theta_k(x) = 1$, если $x \in \left| x_k - \frac{h}{2}, x_k + \frac{h}{2} \right|$ и

$$\Theta_k(x) = 0$$
, если $x \in \left[x_k - \frac{h}{2}, x_k + \frac{h}{2} \right]$.

В результате получается квадратурная формула

$$\frac{1}{\pi\sqrt{1-x^2}} \int_{-1}^{1} u(t)H(x,t)dt =$$

$$= \sum_{k=0}^{n} A_k(x)u(x_k) + E(u,x), \tag{13}$$

где коэффициенты

$$A_{k}(x) = \frac{1}{\pi\sqrt{1-x^{2}}} \int_{x_{k}-\frac{h}{2}}^{x_{k}+\frac{h}{2}} H(x,t)dt;$$
 (14)

E(u, x) – остаточный член формулы (13).

Очевидно, что все $A_k(x)$ неотрицательны для всех $x \in [-1, 1]$

$$\sum_{-n}^{n} A_{k}(x) = \frac{1}{\pi \sqrt{1 - x^{2}}} \int_{-1}^{1} H(x, t) dt = 1.$$
 (15)

Вычислив интеграл в равенстве (14), находим

$$A_{k}(x) = \frac{1}{\sqrt{1-x^{2}}} \left[\left(x_{k} + \frac{h}{2} - x \right) H \left(x, x_{k} + \frac{h}{2} \right) - \left(x_{k} - \frac{h}{2} - x \right) H \left(x, x_{k} - \frac{h}{2} \right) \right] +$$

$$+ \frac{1}{\pi} \left[\arcsin \left(x_{k} + \frac{h}{2} \right) - \arcsin \left(x_{k} - \frac{h}{2} \right) \right].$$

$$(16)$$

Если функция u(x) непрерывна на отрезке [-1, 1], то остаток приближенной формулы (15) можно оценить неравенством

$$|u(x) - \tilde{u}(x)| \le \frac{M}{2}h, \ M = \max_{x \in [-1,1]} |u'| x |.$$
 (17)

Остаточный член квадратурной формулы (13)

$$E(u;x) = \frac{1}{\pi\sqrt{1-x^2}} \int_{-1}^{1} u(t) - \tilde{u}(t) \ H(x,t)dt.$$

Оценивая его по модулю с учетом (11), получаем неравенство

$$\left| E \ u; x \right| \le \max_{x \in [-1,1]} \left| u(x) - \tilde{u}(x) \right|. \tag{18}$$

Подставив вместо интеграла в уравнение (10) его представление квадратурной формулой (13), приходим к равенству

$$u(x) - q(x) \sum_{k=0}^{n} A_{k}(x) u(x_{k}) = F(x) q(x) E(u, x).$$
 (19)

Удовлетворяя это соотношение в узлах квадратурной формулы (13), получаем систему равенств

$$u(x_j) - q(x_j) \sum_{n=1}^{\infty} A_k(x_j) u(x_k) = F(x_j) + q(x_j) E(u, x_j),$$

$$j = -n, ..., -1, 0, 1, ..., n.$$
(20)

Удовлетворяя этому уравнению в узлах квадратурной формулы x_k и отбрасывая слагаемое q(x)E(u, x), будем иметь систему линейных алгебраических уравнений:

$$u_{j} - q(x_{j}) \sum_{n=1}^{n} A_{k}(x_{j}) u_{k} = F(x_{j}),$$

$$j = -n, ..., -1, 0, 1, ..., n,$$
(21)

где u_k – приближенные значения $u(x_k)$ в узлах x_k .

Приближенное решение интегрального уравнения (10) можно получить из (19), если отбросить в нем слагаемое q(x)E(u,x) и заменить значения $u(x_k)$ приближенными значениями u_k , найденными из системы (21). Имеем

$$\tilde{u}(x) = F(x) + q(x) \sum_{n=1}^{\infty} A_k(x) u_k.$$
 (22)

С другой стороны, точное решение

$$u(x) = F(x) + q(x) \sum_{k=0}^{n} A_k(x)u(x_k) + q(x)E(u, x).$$

Сравнивая два последних равенства, получим

$$|u(x) - \tilde{u}(x)| \le |q(x)| \sum_{-n}^{n} |A_k(x)| |u(x_k) - u_k| + |q(x)| |E(u, x)|.$$

Из этого неравенства, равенства (15) следует равномерная по $x \in [-1;1]$ оценка погрешности приближенного решения (22)

$$\left| u(x) - \tilde{u}(x) \right| \le \frac{q}{1 - q} \, \varpi(u, h). \tag{23}$$

В качестве приближенного решения уравнения (7) можно взять

$$\tilde{\Gamma}(x) = B(x)F(x) - B(x)\tilde{u}(x)$$

или, вспоминая, что $q(x)=-\frac{\sqrt{1-x^2}}{B(x)}$ и подставляя $\widetilde{u}(x)$ из (22), имеем

$$\tilde{\Gamma} \quad x = \sqrt{1 - x^2} \sum_{k=0}^{n} A_k(x) u_k. \tag{24}$$

Нетрудно убедиться, что точное решение можно записать в виде

$$\Gamma(x) = \sqrt{1 - x^2} \sum_{n=1}^{\infty} A_k(x) u(x_k) + \sqrt{1 - x^2} E(u, x).$$
 (25)

Из равенств (24) и (25) находим разность

$$\Gamma(x) - \tilde{\Gamma}(x) = \sqrt{1 - x^2} \sum_{n=1}^{\infty} A_k(x) \ u(x_k) - u_k + \sqrt{1 - x^2} E(u, x).$$
 (26)

Отсюда с учетом равенства (11) получим оценку погрешности $\tilde{\Gamma}(x)$.

Численное моделирование. В качестве примера решения были рассмотрены тело с отверстием единичного радиуса R=0,1 м и цилиндр радиусом r=0,099 м. Материалом для тела и цилиндра являлась сталь со следующими физическими характеристиками: модуль Юнга $E=2\cdot10^{11}$ Па, коэффициент Пуассона v=0,23.

Изложенное выше решение сравнивали с решением, предложенным И. Штаерманом [7], а также с численным решением с использованием конечно-элементной программы ANSYS.

Распределение контактного давления p, полученное в системе ANSYS и на основе аналитического решения И. Штаермана с помощью выше-изложенного алгоритма, представлено на рис. 2.

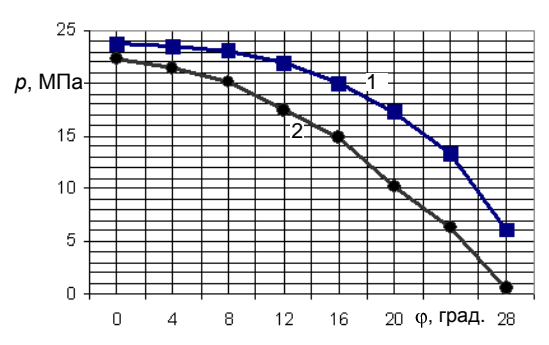


Рис. 2. Распределение контактного давления в области соприкосновения цилиндра, вложенного в цилиндрическую полость: 1 – аналитическое решение;
 2 – решение в системе ANSYS

Таким образом, на основе численно-аналитического метода решения уравнения Прандтля построено решение задачи о внутреннем контакте цилиндрических тел.

выводы

- 1. Сравнение результатов, полученных на основе построения приближенного решения (1) и с использованием конечно-элементного моделирования, показывает, что результаты близки. В то же время использование систем компьютерной математики (Mathematica, Mapple, MathCad и др.) для решения такого рода задач значительно проще и не требует изучения таких громоздких систем, как ANSYS, и дает результаты, точность которых не хуже, чем при решении их с помощью данного конечно-элементного пакета.
- 2. Оценки погрешности приближенного аналитического метода позволяют контролировать не только точность аналитических, но и численных результатов, в том числе полученных на основе конечно-элементного анализа.

ЛИТЕРАТУРА

- 1. **Горшков, А. Г.** Теория упругости и пластичности / А. Г. Горшков, Э. И. Старовойтов, Д. В. Тарлаковский. М.: ФИЗМАТЛИТ, 2002. 416 с.
- 2. **Кравчук, А.** С. Механика контактного взаимодействия тел с круговыми границами / А. С. Кравчук, А. В. Чигарев. – Минск: Технопринт, 2000. – 196 с.
- 3. **Каландия, А. И.** Математические методы двумерной теории упругости / А. И. Каландия. М.: Наука, 1973. 304 с.
- 4. **Prandtl, L.** // Nach. Kgl. Ges. WissMath. Phys. 1918. P. 451–470.
- 5. **Голубев, В. В.** Лекции по теории крыла / В. В. Голубев. М.; Л.: ГИТТЛ, 1949. 480 с.
- 6. **Габдулхаев, Б. Г.** Прямые методы решения сингулярных интегральных уравнений первого рода / Б. Г. Габдулхаев. Казань: Изд-во Казанского ун-та, 1994. 288 с.
- 7. **Штаерман, И. Я.** Контактная задача теории упругости / И. Я. Штаерман. Л.: Гостехиздат, 1949. 270 с.

Поступила 02.09.2013